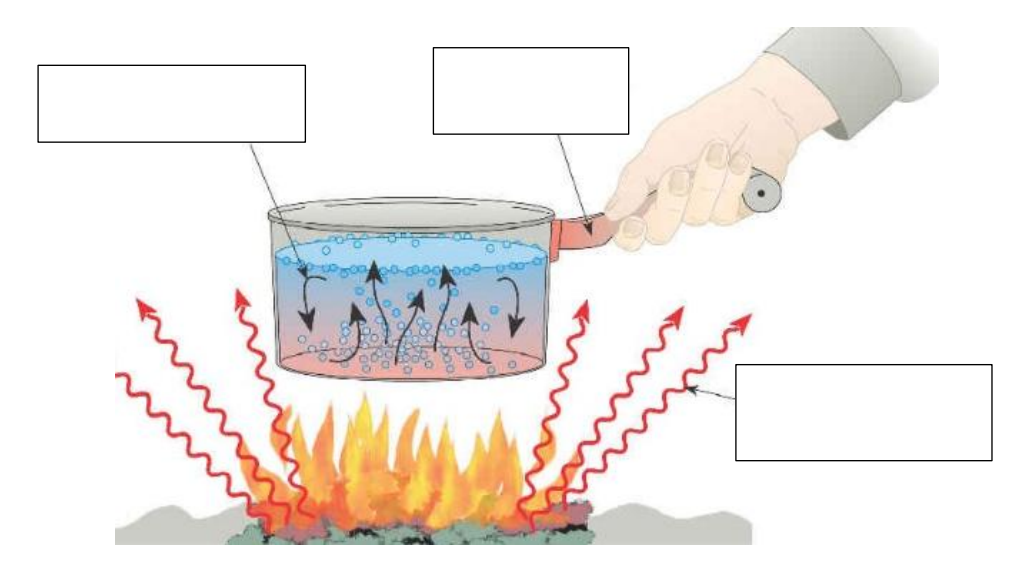
## <u>Chapitre 8 : Conduction thermique et transfert conducto-convectif</u>

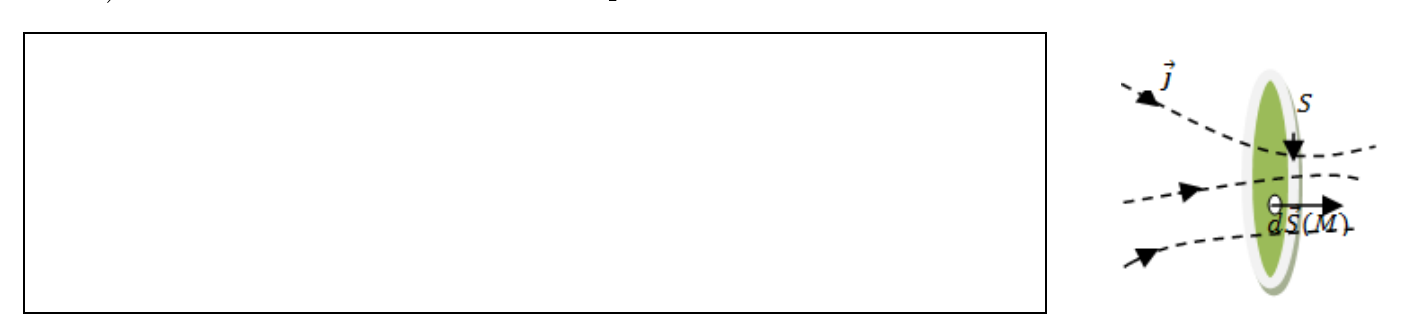
- I- Le flux thermique ou puissance thermique
- a) Les trois modes de transferts thermiques

Convection	Rayonnement	Diffusion thermique ou conduction thermique
Transfert propre aux fluides assuré par un mouvement macroscopique (naturelle ou forcée): chaque particule de fluide transporte son énergie interne en se déplaçant	Transfert lié au flux lumineux d'une source de photons d'énergie $h\nu$ et dont la propagation ne nécessite aucun support ( $h$ constante de Planck et $\nu$ fréquence du rayonnement)	Transfert thermique qui a pour origine un champ de température inhomogène et décrivant la propagation de proche en proche de l'agitation thermique

Identifiez sur le dessin ci-dessous les trois modes de transfert thermique :



b) Le vecteur densité de flux thermique ou vecteur densité de flux de chaleur

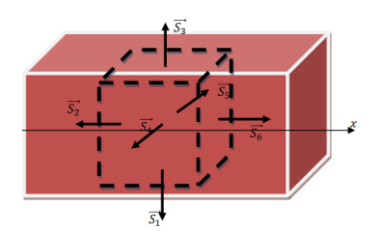


Effectuer un bilan de puissance à travers une surface fermée délimitant un volume V (on note  $P_{th,e} > 0$  la puissance qui rentre et  $P_{th,s} < 0$  la puissance sortante) :

### II- Conduction thermique dans un solide

### a) Bilan global

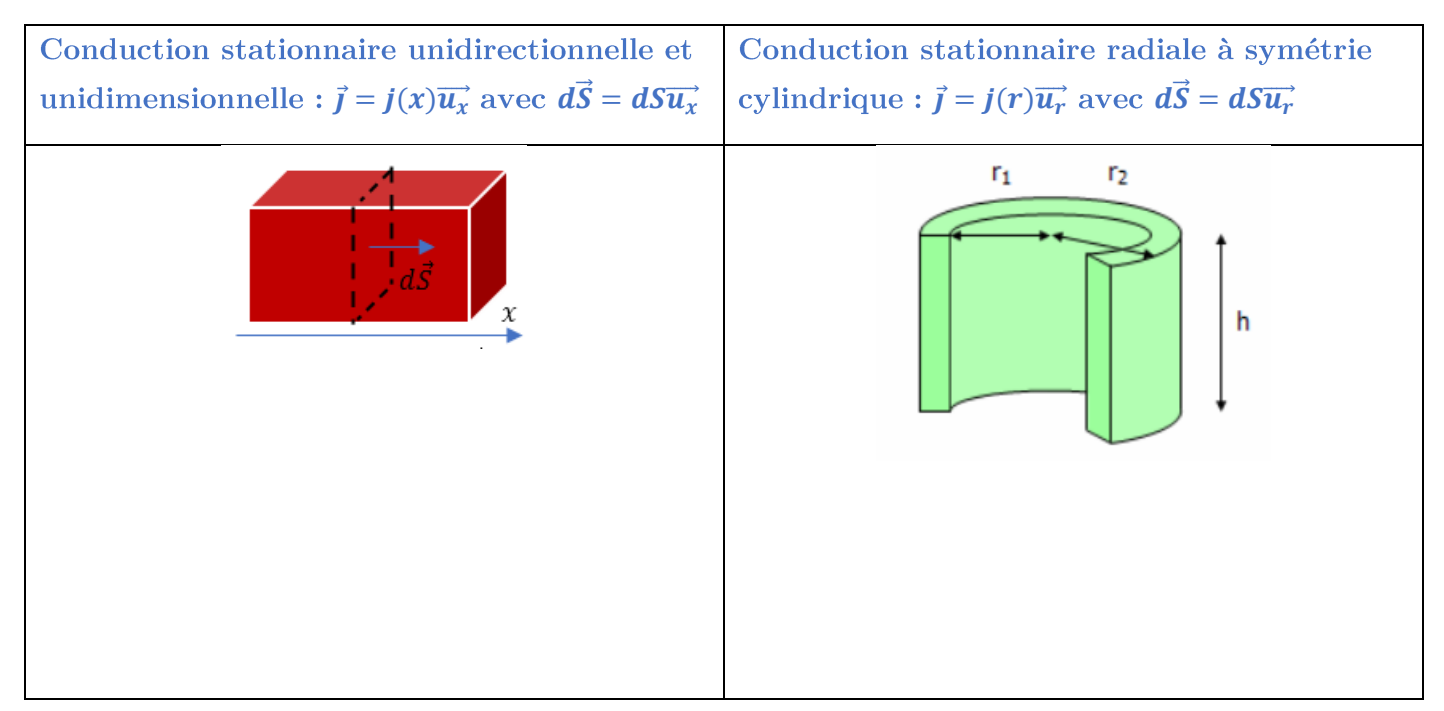
On étudie la conduction thermique à l'intérieur d'un solide, de masse volumique  $\rho$ , de capacité thermique massique c dépourvue de source interne de chaleur (pas de résistance chauffante ou de réactions chimiques ou nucléaires). Nous supposerons le processus monobare :



Soit V le volume de notre système fermé, alors pendant dt:

	r
Ainsi, en régime stationnaire :	
	Mary Mary Mary

## b) Exemples en régime stationnaire : Déterminer l'expression de j



### c) <u>Bilan local</u>

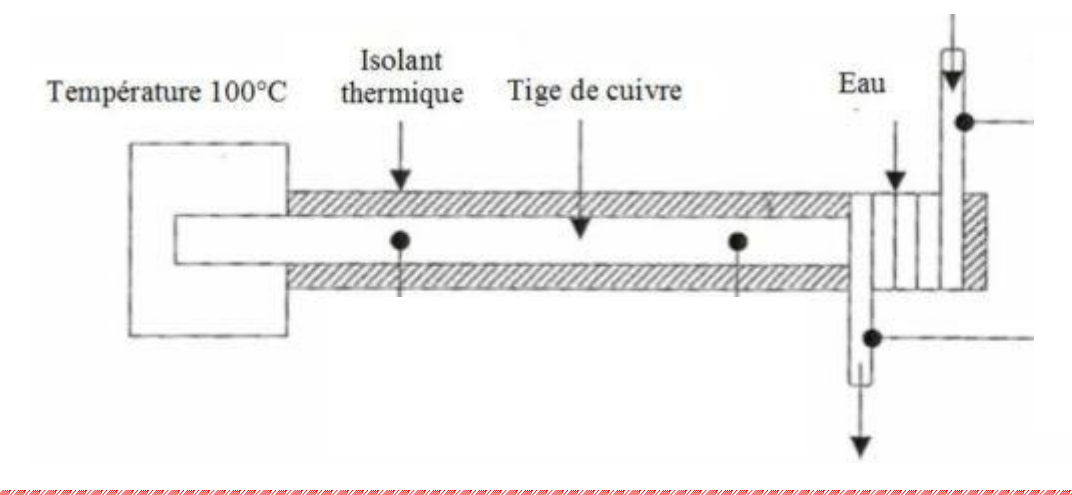
Mener un bilan enthalpique sur un élément de volume dV = dxdydz et pour une conduction thermique unidirectionnelle telle que  $\vec{j} = j_x(x, y, z, t)\overrightarrow{u_x}$  (en repérage cartésien) aboutit à :

TSI2	Thermodyr	•	napitre8	
	•	n local enthalpique sur un élément de vol		
dV d'une phase condensée idéal massique $c$ )	e en condition mond	obare (masse volumique $ ho$ et capacité the	rmique	
	94 ( 1994 ( 1994 ( 1994 ( 1994 ( 1994 ( 1994 ( 1994 ( 1994 ( 1994 ( 1994 ( 1994 ( 1994 ( 1994 ( 1994 ( 1994 (			
The state of the s				
			7 ( 100 ) ( 100 ) ( 100 ) ( 100 ) ( 100 ) ( 100 )	
Commenter la situation du régi	me stationnaire		5 / 1005 / 1005 / 1005 / 1005 / 1005 / 1005 / 1005	
			e mane e cane e mane e cane e mane e cane e	
III- <u>Loi de Fourier et de l</u>	<u>Newton</u>		5 ( maio	
a) <u>Enoncé de la loi de Four</u>	$\underline{\mathrm{ier}}$			
Expérimentalement, on obser	eve une conductio	n thermique lorsqu'un milieu présen	te une	
inhomogénéité spatiale de la température. Ce flux est alors dirigé des régions les plus chaudes vers				
les régions les plus froides.				
	M 1 mm 1		/ 100 / 100 / 100 / 100 / 100 / 100 / 100	
Rq : Nous allons considérer des	milieux pour lesque	els $\lambda$ est uniforme. Par exemple : $\lambda_{m\acute{e}tal}\approx$		
$100Wm^{-1}.K^{-1}$ , $\lambda_{verre} \approx 1Wm^{-1}$	$^{1}.K^{-1}$ et $\lambda_{air} = 0.01$	$Wm^{-1}.K^{-1}$ (dans les conditions usuelles)		
			7 (1000) (1001) (1000) (1000) (1000) (1000)	
			7 ( 100	
Déterminer l'expression de la ré	esistance thermique	dans les cas suivant :		
Conduction stationnaire unic	lirectionnelle et	Conduction stationnaire radiale à		
unidimensionnelle : $\vec{j} = j(x)\overline{u_x}$	$\overrightarrow{s} = dS\overrightarrow{u_x}$	symétrie cylindrique : $\vec{j} = j(r) \overrightarrow{u_r}$ avec $\vec{a}$	$d\vec{S} =$	

### IV- Equation de la chaleur

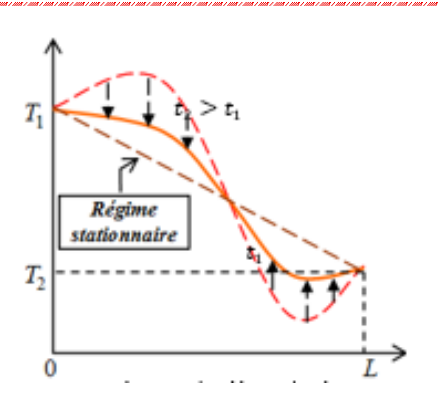
# a) Conduction thermique unidirectionnel (et donc unidimensionnel) $\vec{j} = j_x(x,t) \overrightarrow{u_x}$

Dans le cas où le flux n'est lié <u>qu'à la conduction</u> au sein d'une tige de longueur L, de conductivité  $\lambda$ , de masse volumique  $\rho$ , chauffée à une extrémité et refroidie à l'autre et calorifugée par ailleurs.



#### b) Résolutions analytiques

- i) <u>Méthode 1 : Résolution graphique</u>
- En régime stationnaire le profil des températures est linéaire (courbures et variations temporelles sont liées)
- En régime variable, on pourra noter que la concavité spatiale régit l'évolution temporelle
  - ii) <u>Méthode 2 : Résolution « dimensionnelle »</u>



RQ : Cette équation témoigne de l'irréversibilité de la conduction thermique car elle n'est pas invariante par renversement temporelle  $t\to -t$ 

### iii) <u>Méthode 3 : Résolution numérique</u>

Numériquement, on va « découper » la tige en cellules de longueur  $\delta$  et échantillonné avec un pas  $T_e$ . Le problème consiste donc à trouver les valeurs d'un tableau 2D don chaque valeur est  $T[x_i, t_j] = T[i,j]$ . Avec des formules de différence finie, on a :

$$\frac{\partial T}{\partial t} \equiv \frac{T[i, j+1] - T[i, j]}{T_e}$$

$$\frac{\lambda}{\rho c} \frac{\partial^2 T_i}{\partial x_i^2} \equiv \frac{\lambda}{\rho c} \frac{T[i+1; j] + T[i-1, j] - 2T[i, j]}{\delta^2}$$

En utilisant un schéma d'Euler explicite et en posant  $K = \frac{\lambda T_e}{\rho c \delta^2}$ 

$$T[i, j+1] = T[i, j] * (1-2K) + K(T[i+1; j] + T[i-1, j])$$

Ce bilan doit être repris aux extrémités afin de prendre en compte les flux thermiques rentrant et sortant associés à une puissance surfacique  $P_s$ 

En x = 0, avec  $dV = S\delta$ 

$$\rho c \left(\frac{\partial T}{\partial t}\right)_{x=0} dV = \lambda \left(\frac{\partial T}{\partial x}\right)_{x=0} S + P_s S$$

$$T[0, j+1] = T[0, j](1-K) + KT[1, j] + \frac{P_s T_e}{\rho c \delta}$$

 $\underline{\operatorname{En}} x = \underline{L}$ :

$$T[-1,j+1] = T[-1,j](1-K) + KT[-2,j] - \frac{P_s T_e}{\rho c \delta}$$

On peut récrire le problème sous forme matricielle avec, pour chaque instant :

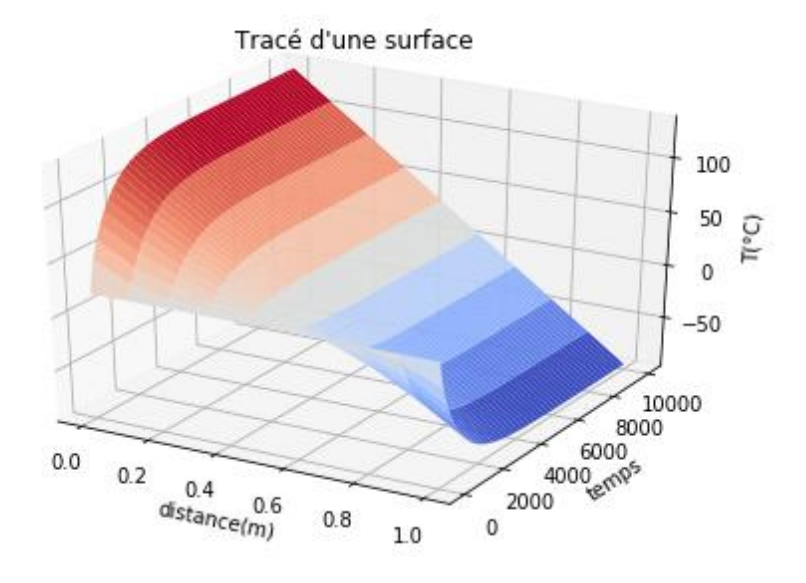
$$\vec{T}_i[j+1] = M\vec{T}_i[j]$$

$$\begin{pmatrix}
T_{i=0}(t_{j+1}) \\
\vdots \\
T_{i}(t_{j+1}) \\
\vdots \\
T_{L}(t_{j+1})
\end{pmatrix} = \begin{pmatrix}
1 - K & K \\
K & 1 - 2K & K \\
K & 1 - 2K & K \\
K & 1 - 2K & K
\\
K & 1 - 2K & K
\\
K & 1 - 2K - K \\
K & 1 - 2K - K
\\
K & 1 - K
\end{pmatrix} \begin{pmatrix}
T_{i=0}(t_{j}) \\
\vdots \\
T_{i}(t_{j}) \\
\vdots \\
T_{L}(t_{j})
\end{pmatrix} + \begin{pmatrix}
\frac{P_{S}T_{e}}{\rho c \delta} \\
0 \\
\vdots \\
0 \\
\frac{P_{S}T_{e}}{\rho c \delta}
\end{pmatrix}$$

```
import numpy as np
import matplotlib.pyplot as plt
import matplotlib.colors as colors
from mpl_toolkits.mplot3d import Axes3D

#constante
L=1
duree=10**4
Te=duree/10**4
delta=L/10
```

```
Nt=int(duree/Te)+1
Nx=int(L/delta)+1
t=np.linspace(0,duree,Nt)
x=np.linspace(0,L,Nx)
rho=10**4
lamb=400
c = 400
K=(rho*c*delta**2/(Te*lamb))**-1
#conditions initiales
Tmin=20
Tmax=60
T=np.zeros((Nt,Nx))
T[0,:]=-((Tmax-Tmin)/L)*x+Tmax
#matrice
M=np.zeros((Nx,Nx))
M[0,0]=M[-1,-1]=1-K
M[0,1]=M[-1,-2]=K
for i in range(1,Nx-1):
    M[i,i]=1-2*K
    M[i,i-1]=M[i,i+1]=K
for j in range(Nt-1):
    T[j+1,:]=np.dot(M,T[j,:])
for i in range(Nx):
    plt.plot(t,T[:,i])
plt.show()
#évolution spatio-remporelle
tab x,tab t=np.meshgrid(x,t)
fig = plt.figure()
ax = fig.add subplot(projection='3d')
ax.plot_surface(tab_x, tab_t, T, cmap=plt.cm.coolwarm, linewidth=0) # Tracé d'une
surface
plt.title("Tracé d'une surface")
ax.set xlabel('distance(m)')
ax.set ylabel('temps')
ax.set zlabel('T(°C)')
plt.tight layout()
plt.show()
```



iv) Méthode 3 : La méthode de séparation des variables

On veut résoudre  $:\!\!\frac{\partial T}{\partial t}=D\,\frac{\partial^2 T}{\partial x^2}$ 

On propose T(x,t)=g(t)h(x)

On a alors:

$$g\frac{\partial h}{\partial t} = Dh\frac{\partial^2 g}{\partial x^2}$$

$$\frac{h'(t)}{h} = D \frac{g''(x)}{g}$$

Cette égalité implique (pour éviter toute divergence) :

$$\frac{h'(t)}{h} = Cte < 0 = -\frac{1}{\tau}$$

Donc :  $h(t) = h_0 e^{-\frac{t}{\tau}}$ 

Et : g(x) = Acos(kx) + Bsin(kx)

Avec:  $k = \sqrt{\frac{1}{D\tau}}$ 

Donc:

$$T(x,t) = g(t)h(x) = e^{-\frac{t}{\tau}} \left(A\cos(kx) + B\sin(kx)\right)$$

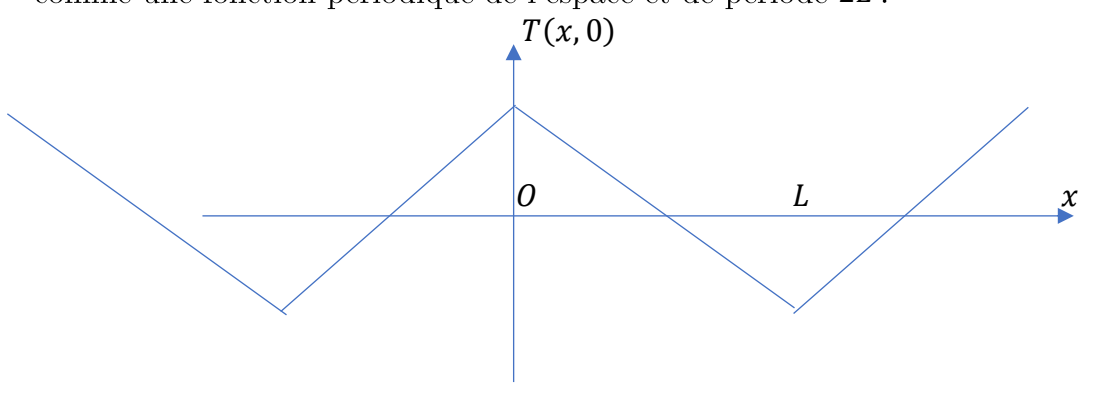
Comme la tige est calorifugée :  $\left(\frac{\partial T}{\partial t}\right)_{x=0} = \left(\frac{\partial T}{\partial t}\right)_{x=L} = 0$ 

Ainsi B=0 et  $kL=n\pi$  et  $k=\frac{n\pi}{L}$  et  $\tau=\frac{1}{Dk^2}$ 

Donc:

$$T(x,t) = g(t)h(x) = \sum_{n=1}^{\infty} A_i e^{-\frac{t}{\tau_n}} cos\left(\frac{n\pi}{L}x\right)$$

On retrouve alors que la situation initiale  $T(x,0) = \sum_{n=1}^{\infty} A_i cos\left(\frac{n\pi}{L}x\right)$  permet d'accéder aux coefficient  $A_i$  qui peuvent être vus comme les coefficients de Fourier des conditions initiales modélisées comme une fonction périodique de l'espace et de période 2L:



Cette fonction est paire et:

$$A_{i} = \frac{2}{2L} \int_{-L}^{L} T(x,0) \cos\left(\frac{n\pi}{L}x\right) dx = \frac{2}{L} \int_{0}^{L} \left(T_{max} - \left(\frac{T_{max} - T_{min}}{L}\right)x\right) \cos\left(\frac{n\pi}{L}x\right) dx$$

$$A_{i} = \frac{2T_{max}}{L} \int_{0}^{L} \cos\left(\frac{n\pi}{L}x\right) dx - \frac{2}{L} \left(\frac{T_{max} - T_{min}}{L}\right) \int_{0}^{L} x \cos\left(\frac{n\pi}{L}x\right) dx$$

$$A_{i} = \frac{2}{L} \left(\frac{T_{max} - T_{min}}{L}\right) \int_{0}^{L} x \cos\left(\frac{n\pi}{L}x\right) dx$$

$$A_{i} = -2 \left(\frac{T_{max} - T_{min}}{n^{2}\pi^{2}}\right) ((-1)^{n} - 1)$$

Si on rajoute la valeur asymptotique de la température, alors :

$$T(x,t) = T_{moy} + \sum_{n=1}^{\infty} -2\left(\frac{T_{max} - T_{min}}{n^2\pi^2}\right)((-1)^n - 1)e^{-\frac{t}{\tau_n}}\cos\left(\frac{n\pi}{L}x\right)$$